

## 弾性地盤上にあらタンク模型の動的実験について

大阪府立工業専門学校  
京都大学大学院  
京都大学防災研究所  
正会員 宮脇幸治  
学生員 小国嘉之  
正会員 土岐三

## 1. まえがき

液体を貯蔵したタンクの動的現象を把握するため従来数多くの解析・実験が行われている。本研究では、いままで十分に検討されていない地盤と底面スラブとの動的相互作用を検討するための模型実験を行った。すなわち、1)柔軟な底面スラブにおける側板下部での浮き上がりおよび変形、2)底面スラブに作用する圧力分布、3)タンク全体の動的挙動、などの検討を実験的に行った結果について報告する。

## 2. 実験の概要

図-1は、模型および実験の概要を示したものである。模型地盤は、アクリルアミド系のグラウト剤で製作し、材料定数は、サンプルを切出して行った静的載荷試験ならびに板ひだき法による動的試験から表-1のように求めた。タンク模型は、0.2mm厚の銅板で製作した。なお、振動中に円筒形を保持させるため上下端には、鋼製のリブがハンダ付けされている。模型全体の相似律については考慮されておらず、底面スラブと模型地盤との動的現象についてのみ注目した。

実験は、振動台を正弦波および不規則波で加振したが、本報告では正弦波加振の結果のみを示す。測定量は、図-1に示すように、振動台の水平加速度 $H_0$ 、地盤中央表面の水平・鉛直加速度 $H_1, V_1$ 、タンクの水平・加速度直角・鉛直成分 $H_2 \sim H_3, H'_1 \sim H'_3, V_2 \sim V_3 (V_4)$ 、底面スラブのひずみ $S_{10} \sim S_{12}$ 、底面反力 $E_1 \sim E_4$ および動液差 $H$ である。

## 3. 実験の結果

図-2は、模型地盤のみの系における加振加速度 $H_0$ に対する応答倍率 $H_1/H_0, V_1/H_0$ を示したものである。水平成分の卓越振動数は4, 6, 11Hz付近にあり、鉛直成分については、7, 10, 13, 24Hzに現われている。これらの振動数は、3次元FEMによる固有値解析の結果にはほぼよい対応を示し、図-2 地盤系の加速度応答倍率であったが、FEMの結果では、6Hz付近は水平より鉛直の方が卓越する結果を示している。

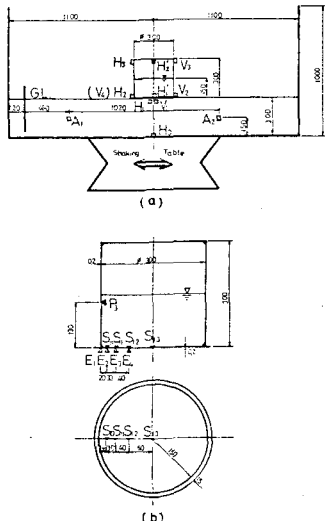


図-1 模型および実験の概要  
表-1 模型地盤の材料定数

	Static Test	Dynamic Test
Young Modulus $E$ (G/cm)	400	333
Poisson's Ratio $\nu$	0.41	0.49
P-Wave $V_p$ (m/sec)	9.65	21.8
S-Wave $V_s$ (m/sec)	3.77	3.31

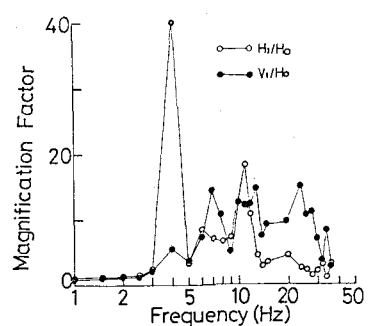


図-3(1), 水平・鉛直成分の  $H_0$  に対する応答倍率分布を液体・スロッシング共振付近 16 Hz, 模型地盤の卓越振動数 4, 6, 10 Hz について示したものである。 $H_3/H_2$  の比がタンクの転倒に作用する力量と考えれば、いずれの場合にも相当大きさはロッキング振動が生じていると推測され、側板直下附近で浮き上りの生じる可能性がある。また、6, 10 Hz では  $V_i/H_0 > 1$  であり、鉛直成分が顕著な応答を示していく。したがって、タanks 全体の挙動は、側板を削除すると考え、地盤および液体の挙動にて説明される。

図-4(1)は、地盤反力およびスラブたすみの応答倍率を図示したものである。いずれもスロッシング共振振動数と地盤の卓越振動数により鋭いピーク値を示しており、図-5 にこれらの応答倍率の分布を示している。地盤反力は側板直下にかなり大きな応答を示しており、したがって、底面に生じる復元力ゼーメントには側板直下部で生じる鉛直力の貢献度が高いくことがわかる。しかしながら、応答倍率より地盤とタンク底面との離隔は認められない。

図-6(1)は、ひずみよりスラブの変位を推定して図示したものである。(a)は静的に液体を 5, 15 cm まで注入したときの変位であり、(b)は、 $H_0 = 100 \text{ gal}$  に対する変位であり、変位は、入力加速度の伝達に比例する。変形モードは、地盤および液体の挙動ならびに側板の回転の動きに影響されているのがわかる。すなわち、6, 10 Hz では地盤

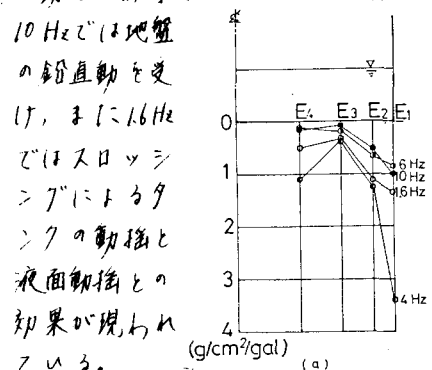


図-4 地盤反力および底面スラブひずみの応答倍率

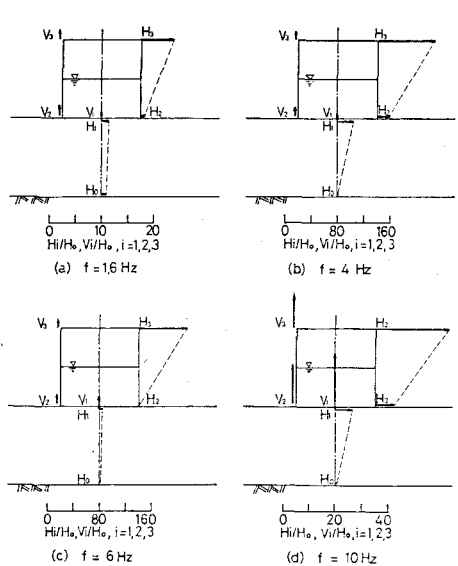


図-3 液体・タンク・地盤系の加速度応答倍率分布

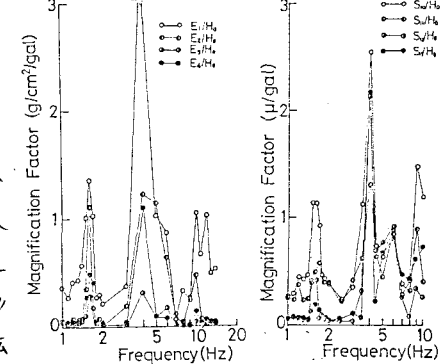


図-4 地盤反力および底面スラブひずみの応答倍率

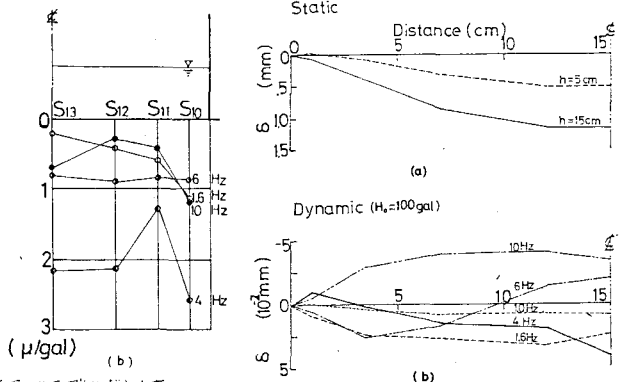


図-6 底面スラブの変位分布

4. あとがき 図-5 地盤反力分布および底面スラブひずみ分布

本実験により、タンクの動的応答は、液体、地盤および底面スラブの連成運動の効果であり、これは地盤の動的挙動に大きく支配されることがわかった。